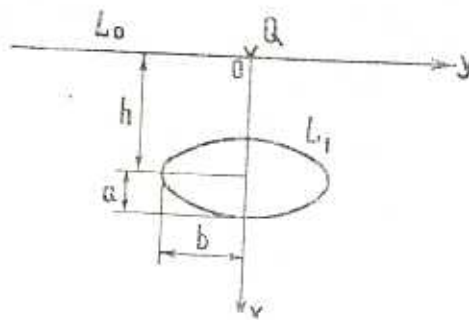


А. С. КОСМОДАМИАНСКИЙ, А. П. КРАВЧЕНКО, В. Н. ЛОЖКИН

ДЕЙСТВИЕ ТОЧЕЧНОГО ЭЛЕКТРИЧЕСКОГО ЗАРЯДА
 НА ГРАНИЦЕ ПЬЕЗОЭЛЕКТРИЧЕСКОЙ ПОЛУПЛОСКОСТИ,
 ОСЛАБЛЕННОЙ ЭЛЛИПТИЧЕСКИМ ОТВЕРСТИЕМ

1. Рассмотрим обобщенное плоское напряженное состояние тонкой пьезоэлектрической пластинки с эллиптическим отверстием, которая в средней плоскости занимает область S , представляющую собой полу平面 с эллиптическим вырезом. Обозначим расстояние между центром отверстия и границей полу平面 — через h , полуоси эллипса — через a и b , контур эллиптического отверстия — через L_1 , границу полу平面 — через L_0 (фиг. 1). Пластинка подвергается действию точечного положительного заряда интенсивности Q , находящегося в произвольной точке z_0 прямолинейной границы L_0 .



Фиг. 1.

Задача об определении электроупругого состояния такой пластиинки приводится к определению функций комплексных переменных $\varphi_j(z_j)$ ($j=1, 2, 3$), удовлетворяющих на контурах L_n ($n=0, 1$) граничным условиям вида [3]

$$\begin{aligned} 2 \operatorname{Re} \sum_{j=1}^3 \varphi_j(z_j) &= f_{1n}, & 2 \operatorname{Re} \sum_{j=1}^3 \mu_j \varphi_j(z_j) &= f_{2n} \\ 2 \operatorname{Re} \sum_{j=1}^3 m_{jn} \varphi_j(z_j) &= f_{3n} \end{aligned} \quad (1.1)$$

Здесь f_{jn} — функции, которые характеризуют воздействие заряда на контуры L_0 и L_1 ; комплексные величины μ_j и m_{jn} характеризуют свойства материала пластиинки.

Функции $\varphi_j(z_j)$ определены в областях S_j , получаемых из заданной области путем использования аффинных преобразований вида $z_j = x + \mu_j y$.

Функции $\varphi_j(z_j)$ будем искать в виде

$$\varphi_j(z_j) = \varphi_j^0(z_j) + \varphi_{j0}(z_j) + \varphi_{j1}(z_j) \quad (1.2)$$

где $\varphi_j^0(z_j)$ — функции, определяющие электроупругое состояние сплошной пластиинки*; $\varphi_{j0}(z_j)$ — функции, голоморфные в полуплоскостях S_j , а $\varphi_{j1}(z_j)$ — функции, голоморфные в областях вне эллипсов L_j .

Функции, определяющие электроупругое состояние сплошной пластиинки и удовлетворяющие граничным условиям (1.1) на L_0 , выберем такими:

$$\varphi_j^0(z_j) = A_j \ln(z_j - z_{j0}) + \varphi_j^*(z_j) \quad (1.3)$$

Здесь $\varphi_j^*(z_j)$ — аналитические функции, однозначные в областях S_j ; z_{j0} — точки в тех же областях, соответствующие точке z_0 .

Преобразуем граничные условия (1.1) к следующему виду:

$$\varphi_j(z_j) - \sum_{n=1}^3 l_{jn} \overline{\varphi_n(z_n)} = 0 \quad (j = 1, 2, 3) \quad (1.4)$$

Здесь

$$\begin{aligned} l_{1n} &= -[(\nu_2 m_{31} - \nu_3 m_{21}) + (\nu_3 - \nu_2) \bar{m}_{n1} + (m_{21} - m_{31}) \bar{\nu}_n] \Delta^{-1} \\ l_{2n} &= -[(\nu_3 m_{11} - \nu_1 m_{31}) + (\nu_1 - \nu_3) \bar{m}_{n1} + (m_{31} - m_{11}) \bar{\nu}_n] \Delta^{-1} \\ l_{3n} &= -[(\nu_1 m_{21} - \nu_2 m_{11}) + (\nu_2 - \nu_1) \bar{m}_{n1} + (m_{11} - m_{21}) \bar{\nu}_n] \Delta^{-1} \\ \Delta &= \nu_2 m_{31} + \nu_1 m_{21} + \nu_3 m_{11} - \nu_2 m_{11} - \nu_3 m_{21} - \nu_1 m_{31} \end{aligned} \quad (1.5)$$

Граничные условия (1.4) на прямолинейной границе примут вид

$$A_j \ln(z_j - z_{j0}) + \varphi_j^*(z_j) - \sum_{n=1}^3 l_{jn} \left[\bar{A}_n \ln \left(\frac{\bar{\nu}_n}{\bar{\nu}_j} z_j - \bar{z}_{n0} \right) + \overline{\varphi_n(z_n)} \right] = 0 \quad (1.6)$$

Введем обозначения

$$s_{nj} = \frac{\bar{\nu}_n}{\bar{\nu}_j} \quad (1.7)$$

Из граничных условий (1.6) получим

$$\varphi_j^*(z_j) = \sum_{n=1}^3 l_{jn} \bar{A}_n \ln(s_{nj} z_j - \bar{z}_{n0}) \quad (1.8)$$

Функции $\ln(s_{nj} z_j - \bar{z}_{n0})$ являются голоморфными в областях S_j . Учитывая это, из условий однозначности напряжений, перемещений, элек-

* Решение задачи для сплошной полуплоскости дано в работе И. А. Вековицкой [1]. Приведенные в [1] формулы для напряжений и индукции не удовлетворяют условиям на прямолинейной границе. В связи с этим в данной работе получены другие формулы, которые удовлетворяют всем граничным условиям.

тростатической индукции и потенциала электрического поля, возникающих в полуплоскости, получим следующие соотношения для определения комплексных постоянных A_j [3]:

$$\begin{aligned} \operatorname{Im} \sum_{j=1}^3 A_j &= 0, \quad \operatorname{Im} \sum_{j=1}^3 \mu_j A_j = 0 \\ \operatorname{Im} \sum_{j=1}^3 \mu_j^2 A_j &= -\frac{Q}{16\pi^2} (g_{11}\beta_{12}^2 - g_{21}\beta_{11}^2) \left(s_{11}^D \beta_{11}^2 + \frac{1}{4\pi} g_{11}^2 \right)^{-1} \\ \operatorname{Im} \sum_{j=1}^3 m_{j1} A_j &= \frac{Q}{4\pi} \\ \operatorname{Im} \sum_{j=1}^3 \mu_j m_{j1} A_j &= \frac{Q}{4\pi} \left(s_{11}^D \beta_{12}^2 + \frac{1}{4\pi} g_{11} g_{21} \right) \left(s_{11}^D \beta_{11}^2 + \frac{1}{4D} g_{11}^2 \right)^{-1} \\ \operatorname{Im} \sum_{j=1}^3 \mu_j^{-1} \left(s_{22}^D - \frac{1}{4\pi} g_{22} m_{j1} \right) A_j &= -\frac{Q}{16\pi^2} g_{12} \end{aligned} \quad (1.9)$$

где s_{ij}^D , β_{mn} и g_{mi} — материальные константы пьезоэлектрической пластинки.

После нахождения коэффициентов A_j из системы (1.9) функции (1.3) становятся известными, что позволяет определить механические и электрические величины, характеризующие электроупругое состояние сплошной пьезоэлектрической пластинки по формулам [3]

$$\begin{aligned} \sigma_x &= 2 \operatorname{Re} \sum_{j=1}^3 \mu_j^2 \varphi_j(z_j), \quad \tau_y = 2 \operatorname{Re} \sum_{j=1}^3 \varphi'_j(z_j) \\ \tau_{xy} &= -2 \operatorname{Re} \sum_{j=1}^3 \mu_j \varphi'_j(z_j) \\ D_x &= 2 \operatorname{Re} \sum_{j=1}^3 \mu_j m_{j1} \varphi_j(z_j), \quad D_y = -2 \operatorname{Re} \sum_{j=1}^3 m_{j1} \varphi'_j(z_j) \end{aligned} \quad (1.10)$$

2. В случае, если точечный заряд приложен к точке границы полуплоскости $z_0 = 0$, функции $\varphi_j^0(z_j)$ принимают более простой вид

$$\varphi_j^0(z_j) = \frac{Q}{2\pi} K_j \ln z_j \quad (2.1)$$

где

$$K_j = A_j + \sum_{n=1}^3 l_{jn} \bar{A}_n$$

Здесь коэффициенты A_j находятся из системы (1.9) с точностью до множителя $\frac{Q}{2\pi}$.

Представим функции $\varphi_{jl}(z_j)$ в виде

$$\varphi_{jl}(z_j) = \sum_{k=1}^{\infty} \frac{a_{kj}}{[\zeta_j(z_j - h)]^k} \quad (2.2)$$

Здесь a_{kj} — произвольные комплексные постоянные, подлежащие определению.

Предположим, что функции $\varphi_{jl}(z_j)$ известны. Тогда из граничных условий (1.4) методом Н. И. Мусхелишивили [7] на прямолинейной границе полуплоскости найдем

$$\varphi_{jn}(z_j) = \sum_{n=1}^3 I_{jn} \bar{\varphi}_{n1}(s_{nj} z_j) \quad (2.3)$$

Здесь коэффициенты I_{jn} и s_{nj} вычисляются по формулам (1.5) и (1.7).

Функции (1.2) примут вид

$$\varphi_j(z_j) = \frac{Q}{2\pi} K_j \ln z_j + \sum_{k=1}^{\infty} \left\{ \frac{a_{kj}}{[\zeta_j(z_j)]^k} + \sum_{n=1}^3 \frac{l_{jn} \bar{\varphi}_{n1}}{[\bar{s}_{nj}(z_j)]^k} \right\} \quad (2.4)$$

Здесь функции $\zeta_j(z_j)$, $\bar{s}_{nj}(z_j)$ связаны с z_j при помощи следующих неявных зависимостей:

$$z_j - h = R_j \left(\zeta_j + \frac{m_j}{\zeta_j} \right), \quad s_{nj} z_j - h = \bar{R}_n \left(\bar{\zeta}_{nj} + \frac{\bar{m}_n}{\bar{\zeta}_{nj}} \right) \quad (2.5)$$

$$(n, j = 1, 2, 3)$$

При этом

$$R_j = \frac{a - i\nu_j b}{2}, \quad m_j = \frac{a + i\nu_j b}{a - i\nu_j b}$$

Функции $\ln z_j$, $[\bar{s}_{nj}(z_j)]^{-k}$ являются голоморфными внутри эллипсов L_{jn} . Поэтому их можно внутри эллипсов, включая и их границы, разложить в ряды по полиномам Фабера. Будем иметь

$$\ln z_j = \sum_{n=0}^{\infty} C_n^{(j)} P_n(z_j), \quad [\bar{s}_{nj}(z_j)]^{-k} = \sum_{n=0}^{\infty} A_{kn}^{(j)} P_n(z_j) \quad (2.6)$$

Здесь

$$P_n(z_j) = \zeta_j^n + \frac{m_j^n}{\bar{\zeta}_{nj}^n}$$

Принимая во внимание разложения (2.6), из граничных условий (1.4) на контуре отверстия, где $\zeta = \zeta_j = z$, методом рядов получим следующую бесконечную систему линейных алгебраических уравнений для определения неизвестных постоянных a_{kj} :

$$\begin{aligned} z_k + \sum_{r=1}^{\infty} \sum_{n=1}^3 \left\{ l_{jn} m_j^k A_{rk}^{(n)} \bar{x}_{rn} - \sum_{m=1}^3 l_{jm} \bar{l}_{mn} \overline{A_{rk}^{(n, m)}} x_{rn} \right\} = \\ = - Q_1 \left\{ K_j m_j^k C_k^{(j)} - \sum_{n=1}^3 l_{jn} \bar{K}_n \overline{C_k^{(n)}} \right\} \quad (2.7) \end{aligned}$$

где $Q_1 = \frac{Q}{2\pi}$.

Таким же образом, как и в работе [4], можно доказать, что система (2.7) является квазирегулярной при любой близости отверстия к границе полуплоскости и имеет единственное решение [2]. Следовательно, ее можно решать методом редукции.

Получив решение системы (2.7), найдем приближенные значения функций $\varphi_j(z)$, а следовательно, и значения механических напряжений и электростатической индукции, возникающих в полуплоскости.

При проведении численных расчетов было принято, что пластина изготовлена из кристалла бифталата калия [1], для которого комплексные параметры μ_j получаются такими:

$$\mu_1 = i 0.831 \quad \mu_2 = 0.685 + i 0.783 \quad \mu_3 = -0.685 + i 0.783$$

В широких пределах варьировались расстояния h между центром эллиптического отверстия и границей полуплоскости, а также отношение $c=b/a$.

В полученном решении граничные условия на границе полуплоскости L_0 удовлетворялись точно, а на контуре эллиптического отверстия — приблизенно, так как бесконечная система (2.7) при проведении расчетов была урезана. Количество уравнений при ее решении варьировалось от восемнадцати до пятидесяти четырех. Оно увеличивалось до тех пор, пока граничные условия на контуре L_1 не удовлетворялись с точностью до 3% от интенсивности заряда.

В табл. 1 приведены значения механических напряжений σ_y и электростатической индукции D_y , возникающих на площадках, нормальных к контуру кругового отверстия, для разных расстояний между центром отверстия и границей полуплоскости.

В табл. 2 даны значения напряжений σ_x , σ_y и индукции D_x в точках перемычки (в этих точках напряжения σ_{xy} и индукция D_y равны нулю) и значения σ_y и D_y на границе полуплоскости, где σ_x , σ_{xy} и D_x равны нулю.

Максимальные значения напряжений σ_y и индукции D_y , возникающих на площадках, нормальных к контуру кругового и эллиптических отверстий, для разных расстояний между центром отверстия и границей полуплоскости приведены в табл. 3.

Во всех таблицах значения механических напряжений даны с точностью до $10^3 \frac{Q}{2\pi}$, а значения электростатической индукции — с точностью до $\frac{Q}{2\pi}$.

Таблица 1

θ°	h	10		5		4		3		2.5		2	
		σ_0	D_0										
0		-0.04	0	-0.07	0	-0.10	0	-0.14	0	-0.17	0	-0.28	0
15		0.11	0.09	0.18	0.16	0.21	0.18	0.27	0.21	0.31	0.24	0.37	0.27
30		0.42	0.17	0.72	0.29	0.89	0.34	1.22	0.41	1.39	0.46	1.62	0.51
45		0.09	0.22	0.36	0.40	0.50	0.47	0.66	0.58	0.96	0.65	1.56	0.73
60		-1.09	0.26	-1.68	0.48	-1.88	0.58	-2.02	0.71	-2.12	0.81	-2.27	0.93
75		-1.86	0.29	-3.36	0.55	-3.92	0.67	-4.60	0.84	-5.04	0.97	-5.45	1.13
90		-2.18	0.30	-4.19	0.60	-5.09	0.75	-6.46	0.98	-7.26	1.15	-8.13	1.38
105		-2.22	0.32	-4.59	0.66	-5.81	0.83	-7.66	1.13	-9.04	1.36	-10.93	1.71
120		-1.66	0.32	-3.94	0.69	-5.26	0.90	-7.58	1.28	-9.44	1.60	-11.65	2.11
135		-0.22	0.29	-1.06	0.68	-1.78	0.91	-3.62	1.36	-5.39	1.78	-8.16	2.52
150		0.47	0.23	0.92	0.56	1.01	0.77	0.92	1.22	0.26	1.69	-1.92	2.64
165		0.23	0.13	0.66	0.32	0.97	0.45	1.65	0.74	2.28	1.08	3.16	1.86
180		0.05	0	0.32	0	0.62	0	1.40	0	2.52	0	5.21	0

Таблица 2

z	h	$c=1/1$						$c=1/2$		$c=2/1$	
		10	5	4	3	2.5	2	3	3	3	3
z_x	$1/4(h-a)$	-2.90	-6.49	-8.61	-12.82	-17.00	-25.30	-25.53	-12.58		
	$1/2(h-a)$	-1.41	-2.97	-3.81	-5.36	-6.82	-9.74	-10.35	-4.76		
	$3/4(h-a)$	-0.79	-1.23	-1.34	-1.50	-1.71	-2.40	-2.62	-1.22		
	$(h-a)$	0.00	-0.01	-0.01	-0.04	-0.04	-0.17	-0.10	0.00		
z_y	$1/4(h-a)$	-0.01	-0.15	-0.31	-0.79	-1.46	-3.17	-2.44	-1.84		
	$1/2(h-a)$	-0.01	-0.09	-0.16	-0.32	-0.48	-0.74	-0.84	-0.27		
	$3/4(h-a)$	-0.02	-0.00	0.09	0.50	1.07	2.47	1.55	1.47		
	$(h-a)$	0.05	0.32	0.62	1.40	2.52	5.21	4.34	3.22		
z_y	$1/4(h-a)i$	-0.02	-0.20	-0.42	-1.12	-2.12	-4.88	-3.59	-2.98		
	$1/2(h-a)i$	0.00	-0.03	-0.09	-0.36	-0.82	-2.34	-1.70	-1.47		
	$3/4(h-a)i$	0.02	0.13	0.22	0.41	0.52	0.38	0.34	0.20		
	$(h-a)i$	0.01	0.17	0.34	0.79	1.30	2.23	1.66	1.39		
D_x	$1/4(h-a)$	-0.75	-1.68	-2.24	-3.35	-4.45	-6.63	-6.67	-3.29		
	$1/2(h-a)$	-0.37	-0.82	-1.08	-1.58	-2.07	-3.02	-3.11	-1.47		
	$3/4(h-a)$	-0.23	-0.49	-0.62	0.87	-1.09	-1.51	-1.66	-0.69		
	$(h-a)$	-0.03	-0.00	-0.00	-0.00	-0.00	-0.01	-0.00	0.00		
D_y	$1/4(h-a)i$	-1.04	-2.56	3.15	-4.74	-6.34	-9.56	-9.52	-4.79		
	$1/2(h-a)i$	-0.52	-1.19	1.59	-2.42	-3.26	-4.96	-4.89	-2.51		
	$3/4(h-a)i$	-0.35	-0.80	-1.08	-1.65	-2.24	-3.47	-3.38	-1.77		
	$(h-a)i$	-0.26	-0.60	-0.81	-1.26	-1.73	-2.72	-2.62	-1.40		

Таблица 3

$c \setminus h$	10		5		4		3	
	σ_0	D_0	σ_0	D_0	σ_0	D_0	σ_0	D_0
$c=1/1$	-2.22	0.32	-4.59	0.69	-5.81	0.91	-7.66	1.36
$c=2/1$	-3.64	0.45	-6.49	0.93	-7.77	1.16	-9.07	1.61
$c=1/2$	-1.58	0.28	-3.84	0.76	-5.73	1.15	-9.63	2.24

Как показывают расчеты, с приближением отверстия к границе полуплоскости сильно возрастает концентрация механических напряжений и электростатической индукции около контуров и в зоне между контурами. Особенно большие напряжения σ_x возникают в точках перемычки, близких к точке приложения электрического заряда, когда $c < 1$.

Институт прикладной математики
и механики АН УССР

Поступила 20 IV 1976

А. С. КОЗМОДАМИАНСКИЙ, А. П. КРАВЧЕНКО, В. Н. ЛОЖКИН

Ереванский научный институт
математики и механики
имени Г.Г.Ходжапетрова
в Ереване
Более 10 лет

Сводка

Структура тензора напряжений вблизи отверстия в пьезоэлектрической пластине с круглым отверстием исследована методом конечных элементов. Показано, что вблизи отверстия напряженность поля и концентрация напряжений в пограничном слое пластины значительно выше, чем в зоне между контурами.

Показано, что вблизи отверстия напряженность поля и концентрация напряжений в пограничном слое пластины значительно выше, чем в зоне между контурами.

Показано, что вблизи отверстия напряженность поля и концентрация напряжений в пограничном слое пластины значительно выше, чем в зоне между контурами.

ON ACTION OF ELECTRICAL POINT CHARGE ON THE BOUNDARY OF PIEZOELECTRICAL HALF-PLANE WEAKENED BY AN ELLIPTIC HOLE

A. S. KOSMODAMIANSKY, A. P. KRAVCHENKO, V. N. LOZHKNIN

Summary

A solution is given to the problem of a generalised plane strained state of a thin piezoelectrical plate with an elliptic hole placed near rectilinear boundary.

ЛИТЕРАТУРА

1. Вековицева И. А. Плоская задача теории электроупругости для пьезоэлектрической пластинки. Прикл. механ., 1975, т. II, № 2.
2. Канторович Л. В., Крылов В. И. Приближенные методы высшего анализа. ИФМЛ, 1962.
3. Космодамианский А. С., Ложкин В. Н. Обобщенное плоское напряженное состояние тонких пьезоэлектрических пластин. Прикл. механ., 1975, т. II, в. 5.
4. Космодамианский А. С. Квазирегулярность бесконечных систем и задачах о напряженном состоянии анизотропной среды с эллиптическими отверстиями. Прикл. механ., 1965, т. I, в. 10.
5. Калоэрой С. А., Космодамианский А. С. О действии сосредоточенных сил в анизотропной полуплоскости с эллиптическим отверстием. Теорет. и прикл. механ., 1970, в. 1.
6. Лехницкий С. Г. Анизотропные пластинки. М., Гостехиздат, 1957.
7. Мусхелишвили Н. И. Некоторые основные задачи математической теории упругости. М., Изд-во «Наука», 1966.